

微粒在旋转环内的奇异聚集行为的一维数学模型

徐 建 军

(中国科学院力学研究所)

1. 引言

在用 Chandler 环作人工血栓生长实验时,人们发现一个有趣的现象:血小板微粒总是在环内前弯月面处聚集而形成血栓^[1,2]. 继而有人作流动模拟实验,在旋转环内,注入普通牛顿流动及一定量固体示踪微粒,令环旋转,则出现一种奇异现象:这些随机分布的粒子随即从各处向前弯月面附近聚集,若再令环反转,这些粒子又会立刻“感到”这种方向的改变,而分散开来,向另一弯月面处重新聚合. 显然,粒子的这种对弯月面或转动方向的“识别能力”是种纯粹的流体力学现象,值得作出理论的解析.

2. 旋转环内的流场分析

由于大环半径 $R \gg$ 圆管半径 r_0 (见图 1), 在距离弯月面转远处,可忽略离心力与端部效应不计. 把流动看成 Poiseuille 流动与一平动迭加. 因而流动速度分布为

$$u(r) = 2u_m \left(1 - \frac{r^2}{r_0^2}\right) - u_m = u_m \left(1 - \frac{r^2}{r_*^2}\right) \quad (1)$$

其中

$$r_* = \frac{r_0}{\sqrt{2}} \approx 0.707r_0,$$

$$u_m = \Omega R \quad (\text{轴线转动速度}) \quad (2)$$

由式 (1) 看出环内流场可分成内、外两部分: 1) 内管部分 ($0 \leq r \leq r_*$), $u \geq 0$ 流速与转动方向相反; 2) 外管部分 ($r_* \leq r \leq 1$), $u \leq 0$ 流速与转动方向相同. 在两个弯月面处,两部分流线相联结,构成一个大迴流.

3. 环内固体粒子受力分析

环内将主要受三种力作用: 1) 重力(包括浮力) $m\mathbf{g}$; 2) Stoke 粘性阻力 ($\mathbf{u}_l - \mathbf{v}$) $6\pi a\mu$; 3) 由于流场是非均匀的剪切场,从而产生的一种侧向力 \mathbf{F}_L , 其作用是使粒子向轴线附近“箍缩”. 关于这第三种侧向力 \mathbf{F}_L 的

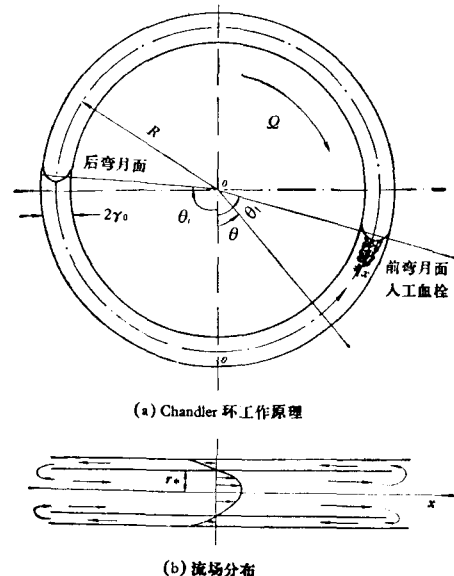


图 1 旋转环示意图

本文于 1981 年 7 月收到.

存在与意义. 已有许多理论与实验工作进行了证实. 这种力是在 $Re < 1$ 时出现的特定现象^[3-14]. 此处 u, μ 分别为流体速度及粘性系数; v, m, a 分别表示粒子速度、质量、半径.

4. 粒子运动的一维数学模型

基于上述粒子受力分析, 我们可建立如下简化力学模型:

- 1) 由于 F_L 的存在, 可认为粒子将统计地集中于内管部分 ($0 < r < r_*$).
- 2) 由于 Stokes 力只同粒子与流体相对速度有关, 假设内管部分流动均匀, 流速取其平均值 ($u_m/2$).
- 3) 粒子速度指向轴向.

从而导出粒子运动方程

$$m \frac{dv}{dt} + \left(\frac{u_m}{2} - v \right) 6\pi a \mu - mg \sin \theta = 0 \quad (3)$$

其中

$$v = R \frac{d\theta}{dt} \quad (4)$$

为粒子沿轴线 x 方向的平均速度, 无量纲化后便导出

$$\lambda \frac{d^2\theta}{d\tau^2} + \frac{d\theta}{d\tau} + \left(\varepsilon \sin \theta - \frac{1}{2} \right) = 0 \quad (5)$$

其中

$$\left. \begin{aligned} \lambda &= Qv_s/g, & \varepsilon &= v_s/QR \\ v_s &= mg/6\pi a \mu, & \tau &= Q\tau \end{aligned} \right\} \quad (6)$$

v_s 为沉降速度. 我们可在相平面 (θ, φ) 讨论非线性方程 (5). 令

$$\frac{d\theta}{d\tau} = \varphi \quad (7)$$

从而

$$\frac{d\varphi}{d\theta} = \frac{\frac{1}{2} - \varepsilon \sin \theta - \varphi}{\lambda \varphi} \quad (8)$$

由式 (8) 推出方向场 $(d\theta, d\varphi)$ 有两条等倾线 1) $L_1: \varphi = 0$ 此时 $d\varphi/d\theta = \infty$; 2) $L_2: \varphi = \frac{1}{2} - \varepsilon \sin \theta$ 此时 $d\varphi/d\theta = 0$. 因此, 我们可区分两种情形:

- i) $\varepsilon \geq \frac{1}{2}$ (对应较大粒子): 这时 L_1 与 L_2 相交于两个奇点:

$$\left. \begin{aligned} \theta &= \theta_1^* = \sin^{-1} \left(\frac{1}{2\varepsilon} \right) > 0 \\ \theta &= \theta_2^* = \pi - \sin^{-1} \left(\frac{1}{2\varepsilon} \right) \end{aligned} \right\} \quad (9)$$

和

分析表明 θ_2^* 为不稳定鞍点. θ_1^* 为稳定螺线点. 由于 $\theta_1^* > 0$, 所以粒子总是从各处沿积分曲线走向前弯月面附近的 θ_1^* 聚集 (见图 2).

ii) $\varepsilon < \frac{1}{2}$ (对应极小微粒): 这时 L_1 与 L_2 无交点, 相平面内无奇点. 这时相平面的积分曲线将走向 $\theta = \infty$. 这表明当流体充满圆环时, 粒子将在环内作定向迴流运动. 但是如果流体没有充满环, 这时粒子尚有界面约束条件

$$\theta_r < \theta < \theta_l$$

因此粒子将沿相平面上的积分曲线走向 $\theta = \theta_l$, 并停留在前弯月面处(见图 3).

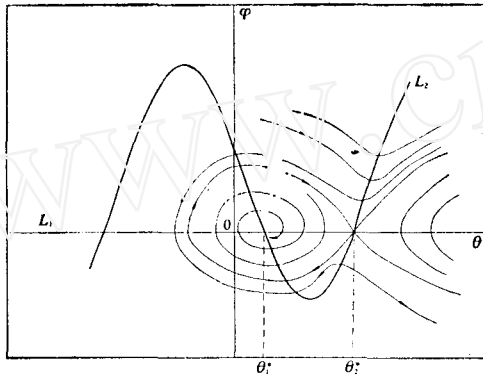


图 2 $\varepsilon > 0.5$ 时, 相平面上积分曲线分布

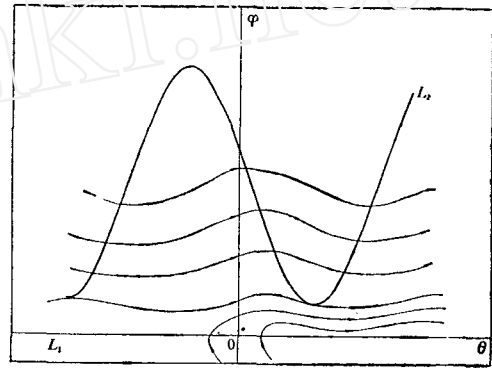


图 3 $\varepsilon < 0.5$ 时, 相平面上积分曲线分布

由上可知, 旋转环内粒子对前弯月面的“识别能力”或粒子总是追寻前弯月面聚集的本质, 对较大粒子而言, 是在前弯月面附近存在一稳定螺线点; 对较小粒子而言, 是由于前弯月面对内管流动起堵截作用.

作为数值例子: 取 $\rho_s = 3.08/\text{cm}^3$ 为粒子速度 $\mu = 1.0 \times 10^{-2}$ 泊, $R = 8.1\text{cm}$, $Q = 10\text{r.p.m} = 1.047$ 弧度/S, 我们算出 $\varepsilon = \left(\frac{a}{a_*}\right)^2$, $a_* = 0.0036\text{cm}$ 故当 $a = 25.45\mu\text{m}$ 时, $\varepsilon = 0.5$, $\theta_1^* = \frac{\pi}{2}$, 更一般的结果见表 1 及图 4.

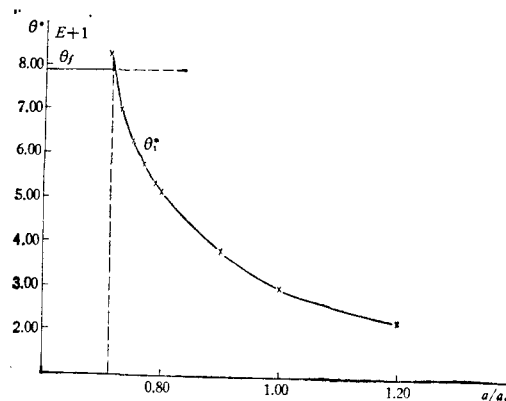


图 4 不同粒度颗粒聚集位置 θ^* (度)

表 1

a/a_*	0.71	0.73	0.75	0.77	0.79	0.80	0.90	1.0	1.2
$a(\mu\text{m})$	25.56	26.28	27.0	27.72	28.44	28.80	32.40	36.00	43.20
ε	0.5041	0.5329	0.5625	0.5929	0.6241	0.640	0.810	1.00	1.44
θ^*	82.7°	69.8°	62.7°	57.5°	53.2°	51.4°	38.1°	30°	22.3°

参 考 文 献

- [1] Chandler, A. B., In Vitro thrombotic Coagulation of the blood, a method for producing a thrombus Lab Invest 7: 110—114 (1958).
- [2] 钱民全, 吕恩武, 旋转带环中血栓形成的实验研究, 力学所研究报告.
- [3] Poiseuille, J. L. M. *Ann Sci, Nat.* 5 (1836), 111.
- [4] Goldsmith, H. L. & Mason, S. G., *J. Coll. Sci.*, 17 (1962), p. 448.
- [5] Rabinow, S. I. & Keller, J. B., *J. Fluid Mech.*, 14 (1961) 447.
- [6] Saffman, P. G., *J. Fluid Mech.*, 22 (1963) 385.
- [7] G. Segre & Siberberg, A., *J. Fluid Mech.*, 14, (1962), p. 115.
- [8] Lighthill, M., J., *J. Fluid Mech.*, 52 (1972), p. 475.
- [9] Gardner, R. A., *J. Lab. Clin. Med.*, 84, 4(1974), p. 494.
- [10] Halow, J. S., Wills, G. B., *AIChE J.*, 16 (1970), 281.
- [11] Ho, B. P., Leal, L. G., *J. F. M.*, 65 (1974), 365, *J. F. M.* 76 (1976), 783.
- [12] Hinch, E. J., Leal, L. G., *J. F. M.*, 92 (1979) 591.
- [13] Vassonr, P., Cox, R. G., *J. F. M.*, 78 (1976), 385.
- [14] Wohl, P. R., Rubinow, S. I., *J. F. M.*, 62 (1974), 185.

ONE-DIMENSIONAL MATHEMATICAL MODEL ON PECULIAR GATHERING BEHAVIOUR OF PARTICLES IN A ROTATING LOOP

Xu Jianjun

(Institute of Mechanics, Academia Sinica)

Abstract

The gathering behaviour of the particles embedded in the fluid of a rotating loop such as chandler loop is discussed theoretically in the paper.

A simplified modal is given, the character of the integral curves of basic equation is discussed on the phase plane. The result shows that for a certain condition, a stable spiral point near the front crescent surface of the loop exists and particle gathering.